

ارزیابی حل معادلات لايه‌مرزی و روابط تقریب مهندسی در گرمايش آیرودینامیکی اجسام متقارن محوری بازگشتی

رامین کمالی مقدم^{۱*}، سحر نوری^۲، محمد رضا سلیمی^۳، مجتبی شیدا^۴ و سید امیر حسینی^۵

۱، ۳، ۴ و ۵- پژوهشکده سامانه‌های فضانورده، پژوهشگاه فضایی ایران

۲- دانشکده مهندسی هوافضا، دانشگاه صنعتی امیرکبیر

*ایران، تهران، شهرک قدس

rkamali@ari.ac.ir

در فرآیند طراحی، هنگامی که از یک خلاگر برای تحلیل اجسام بازگشتی ماورای صوت استفاده شود، داشتن سرعت بالای محاسباتی در کنار دقت مناسب نتایج از نکات کلیدی محسوب می‌شود. در تحقیق حاضر، نتایج حاصل از حل معادلات لايه‌مرزی آرام با استفاده از روش ماتریس انتگرالی و استفاده از روابط تقریب مهندسی در تخمین گرمايش آیرودینامیکی حول اجسام ماورای صوت متقارن محوری بازگشتی مورد ارزیابی قرار می‌گیرد. نتایج نشان می‌دهند که روش‌های به کار رفته دارای دقت مناسب در تحلیل گرمايش آیرودینامیکی اجسام متقارن محوری بوده و دارای سرعت بالا در راستای طراحی آیرودینامیکی اجسام بازگشتی هستند. برداشتن گام مکانی در شبیه‌سازی عددی معادلات لايه‌مرزی و همچنین استفاده از تعداد نقاط شبکه کمتر در لايه‌مرزی به دلیل استفاده از روش ماتریس انتگرالی نسبت به سایر روش‌های عددی، سرعت تحلیل معادلات لايه‌مرزی را بهشت افزایش می‌دهد. همچنین انعطاف‌پذیری بالای روابط تقریب مهندسی در تخمین شار حرارتی روی سطح اجسام بازگشتی، استفاده از آنها را برای طراحی مناسب می‌سازد. استفاده از یک رابطه تقریب مهندسی جدایکه برای ناحیه سکون نتایج گرمايش آیرودینامیکی روش تقریبی را در این تابعیه بهبود می‌بخشد.

واژه‌های کلیدی: معادلات لايه‌مرزی غیرتشابهی، روابط تقریب مهندسی، روش ماتریس انتگرالی، گرمايش آیرودینامیکی،

جريان مauraی صوت، جسم متقارن محوری

علائم و اختصارات	
ρ	چگالی
u	سرعت در راستای جريان
v	سرعت عمود بر جريان
x	محترسه مماس بر سطح
y	محترسه عمود بر سطح
p	فشار
H	انتالپی کل
r	شعاع انحنای سطح
مقدمه	
	$j = 0$
	$j = 1$
عدد پراندل	
لزجت سیال	
عدد استانتون	
عدد رینولز	
ضریب اصطکاک	
ضریب بازیافت	
جريان دو بعدی	
جريان تقارن محوری	

تعیین شار حرارتی روی سطح جسم به عنوان اطلاعات مورد نیاز برای طراحی سپرهای حرارتی و مواد فداشونده، تخمین تنش برشی روی سطح بهمنظور محاسبه اتلافات نیروی پیشران و طراحی

۱. استادیار (نویسنده مخاطب)
۲. استادیار
۳. دانشجوی دکتری
۴. دانشجوی دکتری
۵. پژوهشگر

آبرودینامیکی در حالت جریان آرام و مغشوش برای هندسه‌هایی با دماغه پخ مورد استفاده قرار گرفته است.

در تحقیق حاضر، گرمایش آبرودینامیکی حول اجسام متقارن محوری در جریان ماورای صوت به دو روش حل معادلات لایه‌مرزی غیرتاشابه با استفاده از روش ماتریس انتگرالی و روابط تقریب مهندسی با فرض جریان آرام و گاز کامل مورد ارزیابی قرار می‌گیرد. معادلات لایه‌مرزی و روابط تقریبی به کارفته تشریح شده و الگوریتم حل به دو روش به تفصیل بیان می‌شود. از آنجا که معادلات لایه‌مرزی برای حالت پایا بیان می‌شوند، برداشت گام مکانی در شبیه‌سازی عددی آنها، سرعت تحلیل را بهشت افزایش می‌دهد. روش ماتریس انتگرالی نیز با فراهم‌ساختن امکان استفاده از تعداد نقاط شبکه کمتر در لایه‌مرزی به نسبت سایر روش‌های عددی همچون روش اختلاف محدود، سرعت حل معادلات فوق را با حفظ دقت بیشتر کرده و استفاده از الگوریتم فوق را برای طراحی مناسب‌تر می‌سازد. در تخمین شار حرارتی روی سطح جسم به روش تقریبی نیز از روابط توسعه داده شده توسط زوبی استفاده شده است. از آنجاکه روابط تقریبی فوق برای اجسام سرپیخ در جریان ماورای صوت حاصل شده و با نتایج تجربی مقایسه شده است. سرپیخ به دو روش تهیه شده و با نتایج تجربی مقایسه شده است. انعطاف‌پذیری بالای روابط تقریب مهندسی در تخمین شار حرارتی روی سطح اجسام بازگشتی، استفاده از آنها را برای طراحی مناسب می‌سازد. تحقیقات حاضر نشان می‌دهد که رابطه تقریبی معمول در محاسبات گرمایش آبرودینامیکی برای نواحی سکون اعتبار نداشته و جهت به دست آوردن نتایج فیزیکی نیاز است از روابط تقریب مهندسی دیگری برای این ناحیه استفاده شود.

معادلات لایه‌مرزی

تئوری لایه‌مرزی در سال ۱۹۰۴ توسط پراندل [۱۲] معرفی شد. با استفاده از این تئوری می‌توان جریان حول یک جسم در حال پرواز را مدل‌سازی کرد. این تئوری بر این پایه استوار است که در اعداد رینولدز بالا اثرات مربوط به پخش در مقابل با جایه‌جایی تضعیف شده و بنابراین جریان خارجی حول یک جسم را می‌توان به دو ناحیه غیرلرج (خارج لایه‌مرزی) و لرج (داخل لایه‌مرزی) تقسیم کرد. در تحقیق حاضر، حل ناحیه خارج از لایه‌مرزی توسط یک تحلیلگر جریان غیرلرج (مانند نرم‌افزار فلوئنت) صورت می‌گیرد. نتایج حاصل از حل غیرلرج که شامل اندازه سرعت، مقدار فشار و دمای سیال روی سطح هستند در مرحله بعد جهت تحلیل معادلات لایه‌مرزی توسط حلگر توسعه داده شده مورد استفاده قرار می‌گیرد.

نازل‌ها و دماغه‌ها همواره اهمیت ویژه‌ای دارد. در رژیم سرعت‌های ماورای صوت به دلیل وجود جریان‌های با سرعت و آنتالپی بالا، استفاده از امکانات آزمایشگاهی محدودیت پیدا می‌کند. این محدودیت سبب می‌شود که دینامیک سیالات محاسباتی به عنوان یک ابزار قدرتمند در شبیه‌سازی و طراحی وسایل پرنده ابرصوتی مورد توجه قرار گیرد. به منظور شبیه‌سازی عددی کامل و دقیق رفتار سیال حول اجسام آبرودینامیکی استفاده از معادلات ناویر- استوکس کامل، ضروری است. اما با وجود پیشرفت‌های فراوانی که در زمینه سخت‌افزار کامپیوترها و پردازش موادی صورت گرفته است تمامی متخصصان CFD به خوبی آگاهند که تحلیل عددی مسائل مختلف با استفاده از این سیستم معادلات نیازمند تلاش محاسباتی بسیار بالا بوده و بسیار زمانبر است. از طرفی برای طراح اجسام پرنده، زمان از پارامترهای اساسی محسوب می‌شود و لذا صرف زمان بالا در طراحی، هزینه‌بر بوده و مناسب طراحی اولیه نیست. این مسئله سبب شده که روش‌های سریع با دقت مناسب در زمینه گرمایش آبرودینامیکی مورد توجه قرار گیرند. در این راستا، ساده‌سازی معادلات ناویر- استوکس با استفاده از روابط تقریبی گرمایش آبرودینامیکی با توجه به نوع مسئله مورد تحلیل تا جائی که دقت و دقیزیک مسئله را تحت تأثیر قرار ندهد امری منطقی و معقول است. معادلات لایه‌نازک (TLNS)، سهموی (PNS) و لایه شوک لرج (VSL) و لایه‌مرزی (BL) نمونه‌هایی از معادلات ساده‌شده‌ای هستند که از سیستم معادلات ناویر- استوکس کامل به دست آمده و در تحلیل جریان‌های ماورای صوت و گرمایش آبرودینامیکی اجسام بازگشتی مورد استفاده قرار می‌گیرند. معادلات لایه‌مرزی نیز به دلیل سرعت محاسباتی و دقت بالا همواره در طراحی اجسام بازگشتی ماورای صوت مورد توجه محققان بوده است [۱-۵]. با توجه به ماهیت جریان ماورای صوت روی اجسام پرنده، فرضیات معادلات لایه‌مرزی برای حل جریان ماورای صوت قابل قبول بوده و نتایج دقیقی به دست می‌دهد. تخمین گرمایش آبرودینامیکی به روش تقریبی نیز به دلیل سرعت بالای محاسباتی و همچنین انعطاف‌پذیری خوب آنها در حل شرایط مختلف جریان، از دیرباز مورد بررسی محققان و طراحان پرنده‌های آبرودینامیک بوده است [۶-۱۰]. در این راستا با استفاده از فرضیات متفاوت، روابط تقریبی مختلفی ارائه شده است که از مهم‌ترین آنها می‌توان به فعالیت‌های انجام شده توسط زوبی و همکارانش [۱۱] اشاره کرد. در این تحقیق نیز یک روش تقریب مهندسی به منظور حل نرخ گرمایش

$$\frac{\partial}{\partial \eta} \left(\frac{N}{Pr} \frac{\partial g}{\partial \eta} \right) + f \frac{\partial g}{\partial \eta} + \frac{u_e^2}{H_e} \frac{\partial}{\partial \eta} \left(N \left(1 - \frac{1}{Pr} \right) \frac{\partial f}{\partial \eta} \frac{\partial^2 f}{\partial \eta^2} \right) = \\ 2\xi \left(\frac{\partial f}{\partial \eta} \frac{\partial g}{\partial \xi} - \frac{\partial f}{\partial \xi} \frac{\partial g}{\partial \eta} \right) \quad (8)$$

که در آن $f = \frac{u}{u_e}$ و $g = \frac{H}{H_e}$ هستند. جدول (۲) شرایط مرزی مرتبط با معادلات ۷ و ۸ را نشان می‌دهد.

جدول ۲- شرایط مرزی معادلات انتقال یافته لایه‌مرزی

روی لبه لایه‌مرزی	روی سطح
$f' = \frac{u_e}{u_e} = 1$	$f = 0$ و در صورت وجود دمشن یا مکش: $f_w = -\frac{1}{\sqrt{2\xi}} \int_0^\xi \frac{\rho_w v_w}{\rho_e u_e \mu e r_0^j} d\xi$
$g = \frac{H_e}{H_e} = 1$	$f' = \frac{u(0)}{u_e} = 0$ $g = \frac{H(0)}{H_e} = \frac{H_{Wall}}{H_e}$ و در صورت ادیاباتیک بودن دیواره: $g' = 0$

روش ماتریس انتگرالی

اساس کار روشن ماتریس انتگرالی بر استفاده از تعدادی چند جمله‌ای است که برای تقریب‌زدن کمیت‌های وابسته در فاصله بین نقاط شیکه مورد استفاده قرار می‌گیرند. توابع ذکر شده به‌نحوی انتخاب می‌شوند که شروط پیوستگی کمیت‌ها و مشتقات اول و دوم آنها روی نقاط شبکه برآورده شود. بنابراین، استفاده از این روش امکان تقریب‌زدن کمیت‌های داخل لایه‌مرزی را با کمترین تراکم شبکه فراهم می‌سازد. استفاده از تعداد نقاط کم شبکه در ازای حفظ دقت را می‌توان مهم‌ترین امتیاز استفاده از روش انتگرال ماتریسی دانست که سرعت بالای حل معادلات لایه مرزی را موجب می‌شود. با انتگرال‌گیری در ξ ثابت و روی دو نقطه متوازی شبکه ۱- j و j معادلات لایه‌مرزی به فرم زیر در می‌آیند [۱]:

$$(Nf')_{j-1}^j + \int_{j-1}^j ff'd\eta + \beta \int_{j-1}^j \frac{\rho_e}{\rho} d\eta - \beta \int_{j-1}^j f'^2 d\eta = \int_{j-1}^j 2 \left(f' \frac{\partial f'}{\partial (\ln \xi)} - f' \frac{\partial f}{\partial (\ln \xi)} \right) d\eta \quad (9)$$

$$\left(\frac{N}{Pr} g' \right)_{j-1}^j + \frac{u_e^2}{H_e} \left(N \left(1 - \frac{1}{Pr} \right) f' f'' \right)_{j-1}^j + \int_{j-1}^j fg'd\eta = \\ \int_{j-1}^j 2 \left(f' \frac{\partial g}{\partial (\ln \xi)} - g' \frac{\partial f}{\partial (\ln \xi)} \right) d\eta \quad (10)$$

با استفاده از روش انتگرال جزء به جزء و بسط سری تیلور می‌توان انتگرال‌های موجود در عبارات ۹ و ۱۰ را محاسبه کرد. در این صورت شکل گستته شده معادلات مومنتم و انرژی به‌ترتیب مطابق عبارت‌های ۱۱ و ۱۲ به‌دست می‌آیند:

معادلات لایه‌مرزی آرام در حالت پایا برای هندسه‌های دو بعدی متقارن محوری به فرم زیر نوشته می‌شوند [۲]:

$$\frac{\partial}{\partial x} (\rho u r^j) + \frac{\partial}{\partial y} (\rho v r^j) = 0 \quad (1)$$

$$\rho u \frac{\partial u}{\partial x} + \rho v \frac{\partial u}{\partial y} = -\frac{\partial p}{\partial x} + \frac{1}{r^j} \frac{\partial}{\partial y} \left(\mu r^j \frac{\partial u}{\partial y} \right) \quad (2)$$

$$\frac{\partial p}{\partial y} = 0 \quad (3)$$

$$\rho u \frac{\partial H}{\partial x} + \rho v \frac{\partial H}{\partial y} = \frac{1}{r^j} \frac{\partial}{\partial y} \left(\frac{\mu}{Pr} r^j \frac{\partial H}{\partial y} \right) + \frac{1}{r^j} \frac{\partial}{\partial y} \left(\mu \left(1 - \frac{1}{Pr} \right) r^j \frac{\partial}{\partial y} \left(\frac{u^2}{2} \right) \right) \quad (4)$$

معادلات فوق در ازای $j = 0$ دو بعدی و در ازای $j = 1$ متقارن محوری هستند. جدول (۱) شرایط مرزی مربوط به معادلات ۱ تا ۴ را نشان می‌دهد، با توجه در این جدول مشخص است که می‌توان اثرات دمشن و مکش سطح را وارد محاسبات کرد. همچنین، سطح می‌تواند دما ثابت یا آدیاباتیک در نظر گرفته شود.

جدول ۱- شرایط مرزی معادلات لایه‌مرزی

روی لبه لایه‌مرزی	روی سطح
$u \rightarrow u_e$	$u = 0$ $v = 0$
$H = H_e$	$H = H_w$ یا $\left. \frac{dH}{dn} \right _w = 0$

جهت سادگی حل معادلات ۱-۴ مختصات جدیدی که در آن وابستگی معادلات در راستای جریان بسیار کمتر از جهت عمود است، تعریف شده و معادلات غیرتشابهی حاصل می‌شوند. لذا می‌توان با استفاده از تبدیل‌های موجود معادلات مشتق جزئی ۱-۴ را تبدیل به معادلات دیفرانسیلی معمولی کرد. یکی از پرکاربردترین توابع انتقال موجود روابط لوی- Levy-Lees (Levy-Lees) هستند که به صورت زیر تعریف می‌شوند [۱]:

$$\xi(x) = \int_0^x \rho_e \mu_e u_e r_b^{2j} dx \quad (5)$$

$$\eta(x, y) = u_e (2\xi)^{-1/2} \int_0^y \rho r^j dy \quad (6)$$

که در آنها اندیس ξ نشان‌دهنده شرایط روی لبه لایه‌مرزی است. با فرض نازک بودن لایه‌مرزی در مقایسه با ابعاد مسئله می‌توان r را ثابت فرض کرد و معادلات مومنتم و انرژی انتقال یافته را به فرم زیر نوشت [۱]:

$$\frac{\partial}{\partial \eta} \left(N \frac{\partial^2 f}{\partial \eta^2} \right) + f \frac{\partial^2 f}{\partial \eta^2} + 2 \frac{\xi}{u_e} \frac{du_e}{d\xi} \left(\frac{\rho_e}{\rho} - \left(\frac{\partial f}{\partial \eta} \right)^2 \right) = \\ 2\xi \left(\frac{\partial f}{\partial \eta} \frac{\partial^2 f}{\partial \eta \partial \eta \partial \xi} - \frac{\partial f}{\partial \xi} \frac{\partial^2 f}{\partial \eta^2} \right) \quad (7)$$

با توجه به معادلات ۱۱ و ۱۲، مشاهده می‌شود که متغیرهای f, f', f'', f''', f'''' ، g, g', g'', g''', g'''' مجہولات ما را تشکیل می‌دهند. بنابراین، در کنار معادلات مومنتم و انرژی لازم است تا ۵ معادله کمکی تعریف شوند تا سیستم معادلات بسته شوند. معادلات کمکی با نوشتن بسط سری تیلور برای کمیت‌های f, f', f'', f''', f'''' و g, g', g'', g''', g'''' به صورت زیر ایجاد می‌شوند:

$$-f_{j+1} + f_j + f'_j \delta\eta + f''_j \frac{\delta\eta^2}{2} + f'''_j \frac{\delta\eta^3}{8} + f''''_j \frac{\delta\eta^4}{24} = 0 \quad (16)$$

$$-f'_{j+1} + f'_j + f''_j \delta\eta + f'''_j \frac{\delta\eta^2}{3} + f''''_j \frac{\delta\eta^3}{6} = 0 \quad (17)$$

$$-f''_{j+1} + f''_j + f'''_j \frac{\delta\eta}{2} + f''''_j \frac{\delta\eta}{2} = 0 \quad (18)$$

$$-g_{j+1} + g_j + g'_j \delta\eta + g''_j \frac{\delta\eta^2}{3} + g'''_j \frac{\delta\eta^3}{6} = 0 \quad (19)$$

$$-g'_{j+1} + g'_j + g''_j \frac{\delta\eta}{2} + g'''_j \frac{\delta\eta}{2} = 0 \quad (20)$$

قبل از تحلیل دسته معادلات حاصل، ابتدا لازم است که معادلات غیرخطی ۱۱ و ۱۲ خطی‌سازی شوند. در این تحقیق از روش نیوتن- رافسون برای خطی‌سازی این معادلات استفاده شده است. بعد از انجام خطی‌سازی‌ها معادلات حاصل در هر مقطع ξ به صورت کاملاً ضمنی تحلیل شده و اثرات مربوط به مقاطع قبلی به صورت صریح در نظر گرفته می‌شود. از آنجاکه برای به دست آوردن متغیرهای جریان در هر نقطه ز تنها به اطلاعات نقاط $j+1$ و $j-1$ نیاز است، ماتریس ضرایب حاصل شکل بلوکی سدقطری به خود می‌گیرد که هر بلوک آن شامل یک ماتریس 7×7 است. بدین ترتیب، الگوریتم حل در مکان شکل پیش‌رونده خواهد داشت.

در حل معادلات لایه‌مرزی با توجه به ماهیت غیرتشابهی معادلات مورد استفاده، لازم است که یک حل اولیه برای مقطع اول ($\xi = 0$) وجود داشته باشد. در مسائل عملی تلاش می‌شود که نقطه آغاز محاسبات جایی قرار داشته باشد که بتوان برای آن یک حل تشابهی به دست آورد. این نقطه اغلب روی ناحیه سکون قرار داشته و از حل هیمنز^۴ به عنوان مقدار اولیه برای شروع محاسبات استفاده می‌شود. همچنین، با توجه به تغییرات کمی که پروفیل‌های مربوط به کمیت‌های f, f', f'', f''', f'''' و g, g', g'', g''', g'''' از یک مقطع تا مقطع مجاور می‌کنند، برای حل جریان در هر مقطع از حل مقطع قبلی به عنوان حدس اولیه استفاده می‌شود. این موضوع سبب می‌شود که همگرایی حل سریع‌تر رخ داده و سرعت محاسبات افزایش یابد. شبکه مورد استفاده نیز اغلب شامل ۷ تا ۱۰ نقطه بوده و تراکم نقاط به گونه‌ای انتخاب می‌شود که شبکه پروفیل‌های سرعت و دما که مشخص کننده ضریب اصطکاک سطحی و شار حرارتی هستند با دقت بالایی محاسبه شوند.

$$\begin{aligned} & [Nf'' + f'((1+d_0)f_i + d_1f_{i-1} + d_2f_{i-2})]_{j-1}^j \\ & + \beta \left[\left(\frac{\rho_e}{\rho_j} + \frac{\rho_e}{\rho_{j-1}} \right) \frac{\delta\eta}{2} + \left(\frac{\rho_e P'_j}{\rho_j^2} + \frac{\rho_e P'_{j-1}}{\rho_{j-1}^2} \right) \frac{\delta\eta^2}{12} \right] \\ & = (1 + \beta + 2d_0)[f'_j XP_1 + f''_j XP_2 + f'''_j XP_3 + f''''_j XP_4] \\ & + [P'_j ZM_1 + P''_j ZM_2 + P'''_j ZM_3 + P''''_j ZM_4] \\ & - 2[f'_j ZP_1 + f''_j ZP_2 + f'''_j ZP_3 + f''''_j ZP_4] \end{aligned} \quad (11)$$

$$\begin{aligned} & \left[\left(\frac{N}{Pr} g' \right) + \frac{u_e^2}{H_e} \left(N \left(1 - \frac{1}{Pr} \right) f' f'' \right) \right]_{j-1}^j \\ & + [g((1+d_0)f_i + d_1f_{i-1} + d_2f_{i-2})]_{j-1}^j \\ & = (1 + 2d_0)[f'_j XP_1 + f''_j XP_2 + f'''_j XP_3 + f''''_j XP_4]_{p_j=g_j} \\ & + [f'_j ZP_1 + f''_j ZP_2 + f'''_j ZP_3 + f''''_j ZP_4]_{p_j=g_j} \\ & + [g_j ZP_1 + g'_j ZP_2 + g''_j ZP_3 + g''''_j ZP_4]_{p_j=f'_j} \end{aligned} \quad (12)$$

همان‌طور که مشاهده می‌شود، برای مترآکم کردن معادلات گسسته حاصل از انتگرال‌گیری‌ها از متغیرهای کمکی بسیاری استفاده شده است. در ادامه تعاریف مربوط به تک‌تک عبارت‌های کمکی به کار رفته ارائه می‌شود. ابتدا برای عبارت XP داریم:

$$\begin{aligned} XP_1 &= \delta\eta \left(P_j - P'_j \frac{\delta\eta}{2} + P''_j \frac{\delta\eta^2}{8} + P''''_j \frac{\delta\eta^4}{24} \right) \\ XP_2 &= -\delta\eta^2 \left(\frac{P_j}{2} - P'_j \frac{\delta\eta}{3} + P''_j \frac{11\delta\eta^2}{120} + P''''_j \frac{\delta\eta^3}{30} \right) \\ XP_3 &= \delta\eta^3 \left(\frac{P_j}{8} - P'_j \frac{\delta\eta}{120} + P''_j \frac{11\delta\eta^2}{420} + P''''_j \frac{5\delta\eta^2}{504} \right) \\ XP_4 &= \delta\eta^3 \left(\frac{P_j}{24} - P'_j \frac{\delta\eta}{30} + P''_j \frac{5\delta\eta^2}{504} + P''''_j \frac{\delta\eta^2}{252} \right) \end{aligned} \quad (13)$$

توجه شود که متغیر P در معادله مومنتم (رابطه ۱۱) برابر f' بوده و مقدار آن در معادله انرژی (رابطه ۱۲) برابر g است. در رابطه با عبارت ZP نیز خواهیم داشت:

$$\begin{aligned} ZP_1 &= \delta\eta \left(YP_1 - YP'_2 \frac{\delta\eta}{2} + YP_3 \frac{\delta\eta^2}{8} + YP_4 \frac{\delta\eta^3}{24} \right) \\ ZP_2 &= -\delta\eta^2 \left(\frac{YP_1}{2} - YP'_2 \frac{\delta\eta}{3} + YP_3 \frac{11\delta\eta^2}{120} + YP_4 \frac{\delta\eta^3}{30} \right) \\ ZP_3 &= \delta\eta^3 \left(\frac{YP_1}{8} - YP'_2 \frac{\delta\eta}{120} + YP_3 \frac{11\delta\eta^2}{420} + YP_4 \frac{5\delta\eta^2}{504} \right) \\ ZP_4 &= \delta\eta^3 \left(\frac{YP_1}{24} - YP'_2 \frac{\delta\eta}{30} + YP_3 \frac{5\delta\eta^2}{504} + YP_4 \frac{\delta\eta^2}{252} \right) \end{aligned} \quad (14)$$

که در آنها YP به صورت زیر تعریف می‌شود:

$$\begin{aligned} YP_1 &= d_1 P_{i-1}^j + d_2 P_{i-2}^j \\ YP_2 &= d_1 P'_{i-1}^j + d_2 P'_{i-2}^j \\ YP_3 &= d_1 P''_{i-1}^j + d_2 P''_{i-2}^j \\ YP_4 &= d_1 P'''_{i-1}^j + d_2 P'''_{i-2}^j \end{aligned} \quad (15)$$

ضرایب d_1 و d_2 نیز بسته به اینکه از تقریب دو نقطه‌ای یا

سه نقطه‌ای در جهت ξ استفاده شود، به صورت زیر تعریف می‌شوند:

برای تقریب دو نقطه‌ای:

$$d_0 = \frac{2}{\Delta_{i-1}^i} \quad d_1 = -\frac{2}{\Delta_{i-1}^i} \quad d_2 = 0$$

برای تقریب سه نقطه‌ای:

$$d_0 = 2 \frac{\Delta_{i-1}^i + \Delta_{i-2}^i}{\Delta_{i-1}^i \Delta_{i-2}^i} \quad d_1 = -2 \frac{\Delta_{i-2}^i}{\Delta_{i-1}^i \Delta_{i-2}^i} \quad d_2 = 2 \frac{\Delta_{i-1}^i}{\Delta_{i-1}^i \Delta_{i-2}^i}$$

$$Re_{\theta l} = \frac{0.664(\int_0^{\xi} \rho^* \mu^* u_e h_{\beta} d\xi)^{\frac{1}{2}}}{\rho_e u_e h_{\beta}} \quad (25)$$

رابطه ۲۱ برای ناحیه سکون صادق بوده و دارای خطای بالایی است بنابراین در این تحقیق نرخ انتقال حرارت در ناحیه سکون با استفاده از رابطه ۲۶ بدست می‌آید [۱۱]:

$$q_w = 0.76 Pr^{-0.6} (\rho_e u_e)^{0.4} (\rho_w u_w)^{0.1} \sqrt{\left(\frac{du_e}{dx}\right)_s (h_{aw} - h_w)} \quad (26)$$

این رابطه توسط فای و ریدل برای حالت گاز کامل و بدون واکنش شیمیایی پیشنهاد شده است [۱۴]. در رابطه ۲۶ مقدار گرادیان سرعت در نقطه سکون از رابطه ۲۷ تعیین می‌شود [۱۴]:

$$\left(\frac{du_e}{dx}\right)_s = \frac{1}{R} \sqrt{\frac{2(p_e - p_{\infty})}{\rho_{\infty}}} \quad (27)$$

که در آن R همان شعاع انحنای دماغه است.

حل غیرلنج

برای هر دو حل‌گر توسعه‌یافته به روش لایه‌مرزی و تقریب مهندسی در تحقیق حاضر، تعیین مقادیر اندازه سرعت، فشار، دمای استاتیکی روی لبه لایه‌مرزی حاصل از حل غیرلنج جریان به عنوان ورودی ضروری است. در تحقیق حاضر، از نرم‌افزار تجارتی فلوئنت برای حل غیرلنج میدان جریان اطراف جسم مورد مطالعه استفاده شده است. در ادامه توضیحات مربوط به تنظیمات صورت گرفته در نرم‌افزار مذکور بیان می‌شود.

شبکه مورد استفاده بهصورت باسازمان بوده و استقلال حل از شبکه محاسباتی روی نمودار متغیرهای خروجی در تمامی مسئله‌های فصل بعد صورت گرفته است. برای حل میدان جریان نیز از حل‌گر چگالی مینا بر پایه روش گسسته‌سازی Roe بهصورت ضمنی استفاده شده است. دقت شبیه‌سازی‌های مکانی از مرتبه دو (روش بالادرست مرتبه دو) بوده و از معادله حالت گاز ایده‌آل برای برقراری ارتباط بین میدان انرژی و مومنت استفاده شده است. علاوه بر این، ظرفیت گرمایی در فشار ثابت برای هوا ثابت فرض شده است. بهمنظور اطمینان از همگرایی نتایج نیز علاوه بر کمتر بودن باقیمانده‌ها از معیار 5×10^{-5} ، انتگرال پارامترهای مورد استفاده در لبه لایه‌مرزی نیز، از تکرار مستقل شده است.

نتایج

به منظور بررسی صحت و عملکرد الگوریتم ماتریس انتگرالی در تحلیل معادلات متقارن محوری لایه‌مرزی و روابط تقریبی

روابط تقریب مهندسی

استفاده از روابط تقریب مهندسی گرمایش آبیودینامیکی یکی از روش‌های انعطاف‌پذیر و سریع در طراحی وسایل بازگشتی در سرعت‌های ماوراء صوت است. در این راستا روابط تقریبی مختلفی ارائه شده که در این بخش برای محاسبه گرمایش آبیودینامیکی از معادلات انتگرالی زویی استفاده شده است. این روابط برای جریان آرام و آشفته توسعه داده شده که در این مقاله از روابط جریان آرام استفاده می‌شود.

اساس رابطه زویی در تعیین شار حرارتی با استفاده از تعریف عدد استانتون به صورت رابطه ۲۱ است [۱۱]:

$$q_w = St \rho_e u_e (h_{aw} - h_w) \quad (21)$$

با استفاده از رابطه اصلاح شده آنانالوژی رینولدز عدد استانتون را می‌توان توسط رابطه ۲۲ به ضریب اصطکاک مرتبط کرد [۱۱]:

$$St = \frac{C_f}{2} (Pr)^{-k} \quad (22)$$

در رابطه ۲۲ Pr عدد پرانتل و پارامتر k عددی ثابت است که برای جریان آرام $0.4/6$ و برای جریان مشوش $0.4/0$ است. مقدار C_f نیز ضریب اصطکاک بوده که می‌توان آن را از حل دقیق معادله بالازیوس و h_{aw} تعیین خامخت مومنتوم لایه‌مرزی محاسبه کرد. در رابطه ۲۱ آنتالپی دیواره عایق است که از رابطه ۲۳ محاسبه می‌شود:

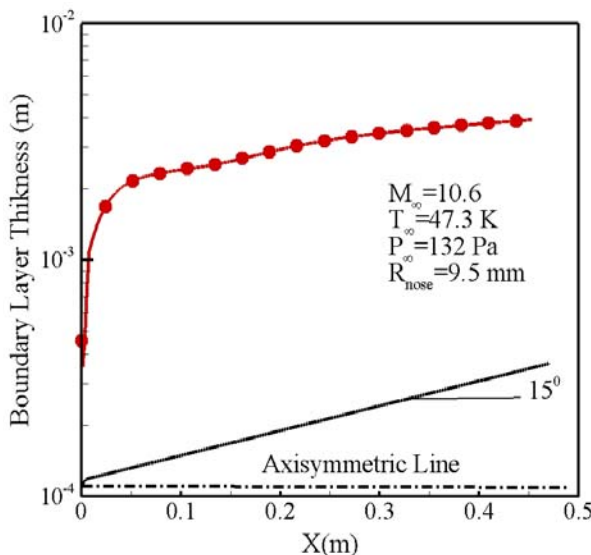
$$h_{aw} = h_e + \frac{1}{2} R u_e^2 \quad (23)$$

که در این رابطه R ضریب بازیافت بوده و برای جریان آرام $R = pr^{\frac{1}{2}}$ انتخاب می‌شود. با تعریف خامخت مومنتوم و ساده‌سازی در نهایت نرخ شار حرارتی وارد به سطح از رابطه ۲۴ تعیین می‌شود [۱۱]:

$$q_{wl} = C_1 (Re_{\theta l})^{-m} \left(\frac{\rho^*}{\rho_e}\right)^m \left(\frac{\mu^*}{\mu_e}\right)^m \rho_e u_e (h_{aw} - h_w) (Pr)^{-k} \quad (24)$$

این رابطه برای جریان آرام و آشفته صادق بوده و تنها ضرایب آن متفاوت است. در این رابطه برای درنظرگرفتن اثر تراکم‌پذیری از تعریف آنتالپی مرجع [۱۳] استفاده شده است تا بتوان از روابط و متغیرهای جریان تراکم‌نایپذیر برای جریان تراکم‌پذیر استفاده کرد. ثابت‌های مربوط به محاسبه نرخ شار حرارتی جریان آرام برابر $0.22 \cdot C_1 = 0.6$ و $m = 1$ انتخاب می‌شوند. همچنین عدد رینولدز بر مبنای خامخت مومنتوم لایه‌مرزی در جریان آرام توسط رابطه ۲۵ محاسبه می‌شود:

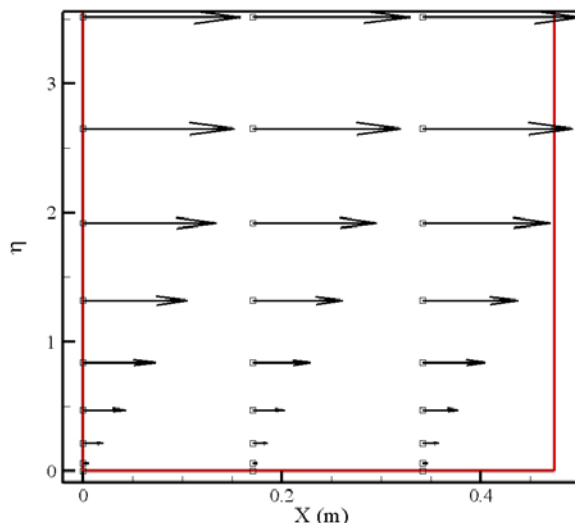
روی سطح جسم تأمین می‌شود، از ضخامت لایه‌مرزی صرفنظر می‌شود. در واقع برای تعیین دقیق مقادیر روی لبه لایه‌مرزی، جسمی که حل غیرلزج روی آن صورت می‌گیرد می‌بایست به مقدار ضخامت لایه‌مرزی، خصیم‌تر شود تا شرایط مرزی روی لبه لایه‌مرزی معادلات دقیق‌تر شده و حل دقیق‌تری از معادلات لایه‌مرزی فراهم شود. با توجه به اینکه ضخامت لایه‌مرزی نسبت به ابعاد جسم بسیار کوچک است، درنظر نگرفتن آن خطای زیادی در محاسبات ایجاد نمی‌کند اما اطلاع از میزان ضخامت لایه‌مرزی میزان دقت نتایج به دست آمده را روشن کند. شکل (۲) توزیع ضخامت لایه‌مرزی روی سطح مخروط ۱۵ درجه را نشان می‌دهد که بیانگر رشد آن در راستای طول بدن است. مشاهده می‌شود که حداکثر ضخامت لایه‌مرزی در انتهای بدن حدود ۳ میلی‌متر بوده که در مقابل طول و شاعر نوک جسم ناجیز است.



شکل ۲- ضخامت لایه‌مرزی روی سطح بدن مخروط ۱۵ درجه

به منظور بررسی گرمایش آبودینامیکی روی سطح مخروط فوق مقایسه توزیع شار حرارتی به روش تقریب مهندسی و روش حل معادلات لایه‌مرزی با داده‌های تجربی [۱۶] در شکل (۳) آورده شده است. نتایج بدست آمده نشان می‌دهند با اینکه در نواحی نزدیک به نقطه سکون اختلافاتی بین دو روش وجود دارد، اما نتایج حاصل از هر دو روش تطابق خوبی با داده‌های تجربی دارند. با توجه در این نمودار مشخص است که به استثنای نتایج مربوط به حل کامل معادلات ناویر-استوکس، سایر روش‌های استفاده شده شار حرارتی را در انتهای مدل کمتر از داده‌های تجربی محاسبه می‌کنند. دلیل این اختلاف ناشی از درنظر نگرفتن ضخامت جایه‌جایی و عدم اعمال اثرات مرتبط با لایه‌آنتروپی در روش‌های مورد استفاده است. اگرچه، اثرات لایه‌آنتروپی

گرمایش آبودینامیکی، نتایج حاصل از اعمال الگوریتم‌های حاضر روی چند مسئله نمونه با داده‌های موجود در مراجع معتبر مقایسه شده‌اند. مسئله اول، بررسی گرمایش حول یک هندسه مخروط سریع با زاویه ۱۵ درجه در عدد ماخ ۱۰/۶ است که طولی معادل با ۴/۵ متر و دمای دیواره ثابت معادل ۳۰۰ کلوین دارد. سایر شرایط جریان در شکل‌ها آورده شده‌اند. در حل معادلات لایه‌مرزی که نیاز به تولید شبکه محاسباتی وجود دارد؛ بیشترین مقدار ۱۱ و اولین فاصله شبکه از دیواره، دو پارامتر اساسی در تعیین پایداری حل عددی و میزان دقت حل هستند. در مرجع [۱۵] حساسیت روش ماتریس انتگرالی به تعداد نقاط شبکه در راستای عمود بر جریان بررسی و نتیجه گرفته شده است که با تعداد حداقل ۹ نقطه درون لایه‌مرزی در هر گام می‌توان نتایج قابل قبولی در گرمایش آبودینامیکی به دست آورد. در واقع استفاده از الگوریتم ماتریس انتگرالی در حل معادلات لایه‌مرزی سبب شده است که با تراکم کم نقاط بتوان نتایج مناسبی را فراهم کرد. شکل (۱) پروفیل سرعت به همراه تعداد نقاط درون لایه‌مرزی در شبکه محاسباتی را نشان می‌دهد. شایان ذکر است که تعداد شبکه در راستای جریان ۵۰۰ گام مکانی است. همان‌طور که بیان شد تخمین گرمایش آبودینامیکی به روش تقریب مهندسی نیازی به تولید شبکه ندارد و روابط در هر گره محاسباتی روی سطح قابل استفاده است.



شکل ۱- پروفیل سرعت روی شبکه محاسباتی کره مخروط ۱۵ درجه

یکی از مزیت‌های حل معادلات لایه‌مرزی تعیین ضخامت و نحوه رشد لایه‌مرزی است. از آنجاکه جهت حل معادلات لایه‌مرزی، دما، فشار و سرعت روی لبه لایه‌مرزی به عنوان شرط‌مرزی مورد نیاز است و این مقادیر از تحلیل جریان غیرلزج هندسه موردنظر و با استفاده از داده‌های

حاصل کند استفاده شده است (شکل ۳). در شکل (۴) شبکه‌بندی صورت گرفته برای حل فوق آورده شده است. شبکه ایجاد شده برای این حل دارای تعداد ۱۸۰۰۰ المان است. به‌دلیل اهمیت فوق العاده فاصله نقطه اول شبکه در محاسبات مربوط به گرمایش، از تایج کد لایه‌مرزی و محاسبه ضخامت لایه‌مرزی استفاده شده و مناسب‌ترین شبکه برای حل لزج نرم‌افزار فلوئنت ایجاد شده است. در این شبکه، فاصله اولین نقطه از سطح معادل ۱/۰ ضخامت لایه مرزی هیمنز بوده و از ۸۰ نقطه محاسباتی در راستای عمودی استفاده شده است. شایان ذکر است که شبکه تولید شده برای فراهم کردن نقاط کافی در لایه مرزی به‌سمت دیواره متراکم شده است. به‌منظور ارزیابی الگوریتم‌های توسعه‌یافته، در جدول (۳) مقایسه زمان محاسباتی با استفاده از نرم‌افزار فلوئنت و الگوریتم‌های حاضر با استفاده از یک رایانه با مشخصات Core-i5-2400، CPU 3.1GHz، RAM 4GB، 4GB برای این مسئله صورت گرفته است.

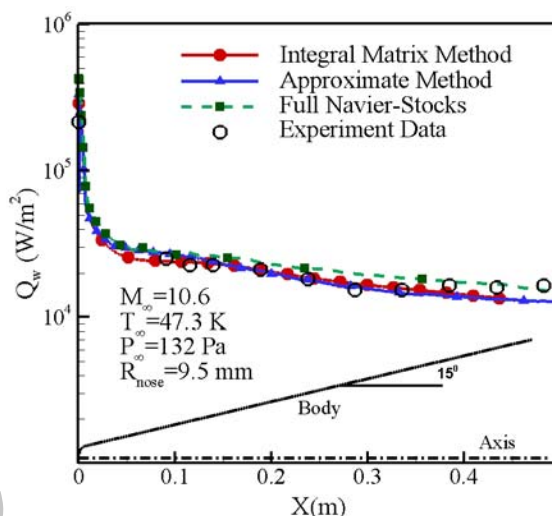
جدول ۳- مقایسه زمان محاسباتی

زمان (دقیقه)	معادلات	نرم‌افزار/روش	ردیف
۴۵	معادلات ناویر-استوکس	فلوئنت	۱
۱۰	معادلات اویلر	فلوئنت	۲
۰/۲۵	لایه‌مرزی	لایه‌مرزی	۳
۰/۱۵	تقریبی	تقریبی	۴

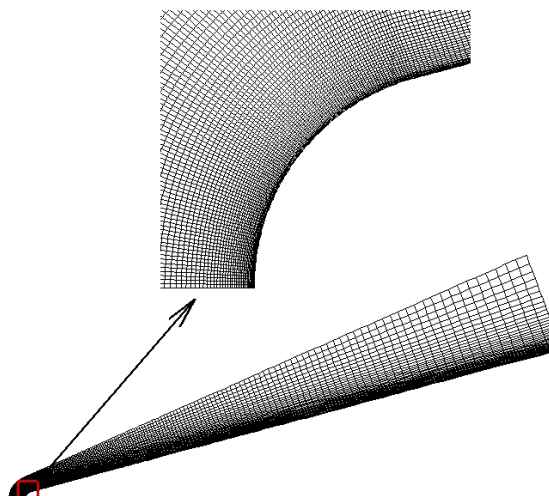
مشاهده می‌شود که زمان محاسباتی برای این مسئله با استفاده از نرم‌افزار فلوئنت تقریباً ۴۵ دقیقه و با استفاده از حل معادلات لایه‌مرزی حدود ۰/۲۵ دقیقه و برای روش تقریبی معادل ۰/۱۵ دقیقه است. بنابراین، زمان محاسباتی برای دو روش حاضر به همراه حل غیرلزج آنها حدود ۱۰ دقیقه می‌شود. با توجه به مقایسه هزینه‌های محاسباتی و این حقیقت که اختلاف زمان محاسباتی در مسائل سه‌بعدی به‌مراتب تشدید می‌شود، می‌توان به اهمیت توسعه الگوریتم‌های فوق پی برد.

به‌منظور ارزیابی نتایج الگوریتم حاضر در تحلیل هندسه‌های با طول بیشتر، تحلیل جریان ماورای صوت حول یک مخروط سریع با زاویه ۵ درجه با طولی معادل ۴۷ متر مورد بررسی قرار گرفته است. جریان آزاد دارای عدد ماخ ۱۵ بوده و دمای سطح جسم ۱۲۵۵ درجه کلوین است. شار حرارتی روی سطح جسم با استفاده از دو روش حل معادلات لایه‌مرزی و روابط تقریبی در شکل (۵) با نتایج عددی مرجع [۱۷] که با روش عددی لایه شوک لزج (VSL) است، مقایسه شده است. مشاهده می‌شود که نتایج هر دو روش برهمنطبق بوده و روند مناسبی دارند. بررسی حاضر نشان می‌دهد که استفاده از روابط تقریبی در تخمین گرمایش آبرو دینامیکی حول

غالباً مربوط به نواحی نزدیک به شوک کمانی یعنی در نزدیکی دماغه مشهود هستند، اما خطایی که در نظرنگرفتن آن ایجاد می‌کند با توجه به نتایج موجود در تحقیق حاضر و مرجع [۱۶] تا پایین دست جریان امتداد می‌یابد. در نظرنگرفتن تناوبی ضخامت جابه‌جایی در حل غیرلزج و اصلاح شرایط روی لبه لایه‌مرزی در حل معادلات لایه‌مرزی می‌تواند به اصلاح نتایج به‌خصوص در نواحی دور از دماغه که ضخامت لایه مرزی رشد می‌کند کمک کند [۱۶].



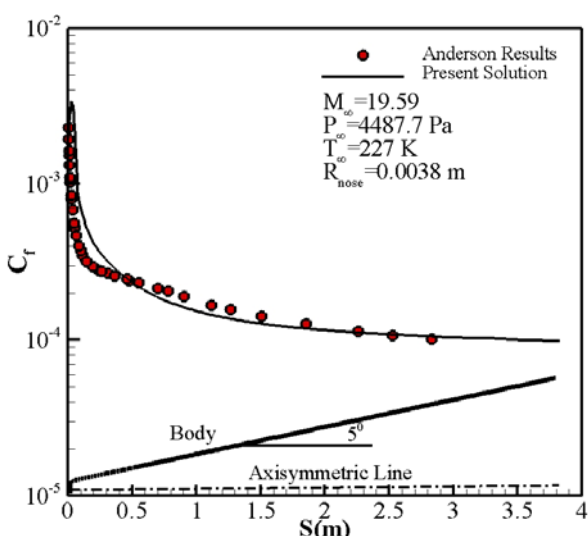
شکل ۳- مقایسه توزیع شار حرارتی روی سطح بدنه کره مخروط ۱۵ درجه



شکل ۴- شبکه محاسباتی برای حل لزج فلوئنت

به‌منظور بررسی راندمان الگوریتم‌های حاضر نتایج حاصل با حل لزج نرم‌افزار فلوئنت مقایسه شده‌اند. شبکه مورد استفاده برای این حل بعد از انجام مطالعات مربوط به استقلال حل از شبکه محاسباتی انتخاب شده است. بنابراین، جهت انجام محاسبات از کمترین نقاط شبکه که توزیع شار حرارتی صحیحی روی دیواره

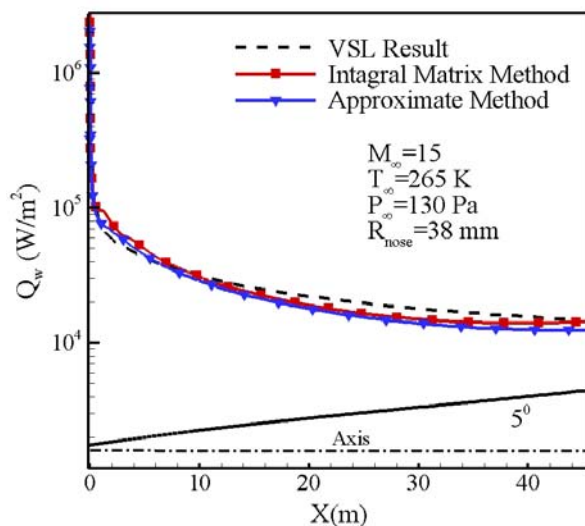
برای مطالعه دقیق‌تر عملکرد کد توسعه داده شده در محاسبه ضریب اصطکاک پوسته‌ای جریان ماوراء صوت اطراف کره مخروط با ماخ $19/6$ و زاویه جانبی 5 مورد ارزیابی قرار گرفته است. شعاع دماغه در این مسئله برابر 0.0038 متر بوده و دمای دیواره 555 درجه کلوین است [۱۸]. فشار و دمای جریان آزاد نیز به ترتیب برابر 4488 پاسکال و 227 درجه کلوین در نظر گرفته شده است. در این رابطه شکل (۷) توزیع ضریب اصطکاک پوسته‌ای حاصل از الگوریتم مورد استفاده را در مقایسه با نتایج اندرسون [۱۸] نمایش می‌دهد که تطابق خوبی دارد.



شکل ۷- مقایسه توزیع ضریب اصطکاک پوسته‌ای روی سطح

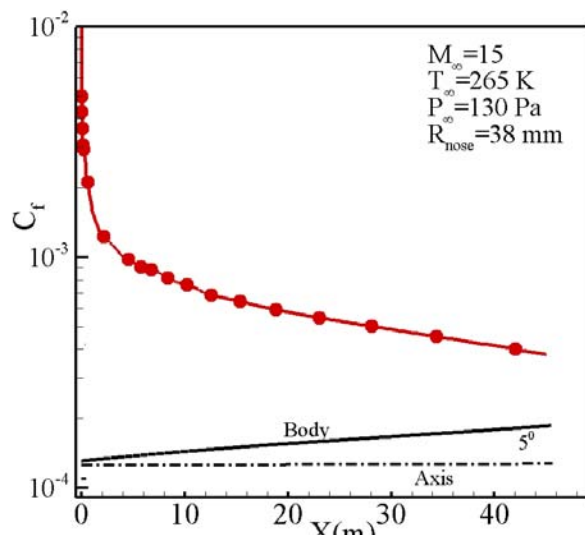
به منظور بررسی قابلیت الگوریتم‌های حاضر در تحلیل هندسه‌های پیچیده‌تر و با زوایای هندسی بالاتر، مسئله دیگری که مورد تحلیل قرار گرفته مدلی از کپسول مربخ‌پیمای بازگشتی در مأموریت ناسا با دماغه سریخ و زاویه شیب 70 درجه است. هندسه کپسول فوق در شکل (۸) آورده شده است اما به دلیل اینکه معادلات لایه‌مرزی و روابط تقریبی پس از جدایش جریان از روی سطح حاکم بر رفتار سیال نیستند، لذا تنها قسمت جلو دماغه که تقریباً مهم‌ترین ناحیه جسم از لحاظ بررسی گرمایش آبرودینامیکی است توسط نرم‌افزار حاضر مدل‌سازی شده است. در تحلیل‌ها دمای دیواره ثابت و برابر با 300 کلوین در نظر گرفته شده است. مقایسه توزیع شار حرارتی روی سطح بدنه حاصل از دو روش تقریبی و حل معادلات لایه‌مرزی با داده‌های تجربی در شکل (۹) نشان داده شده است. در این مسئله نیز مشابه با مسائل قبلی، شبکه به کار رفته برای حل معادلات لایه‌مرزی دارای 9 گره در عرض لایه‌مرزی است. مشاهده می‌شود که حل

اجسام متقارن محوری در جریان ماوراء صوت در فاصله‌های زیاد از نوک جسم قابل اعتماد است.

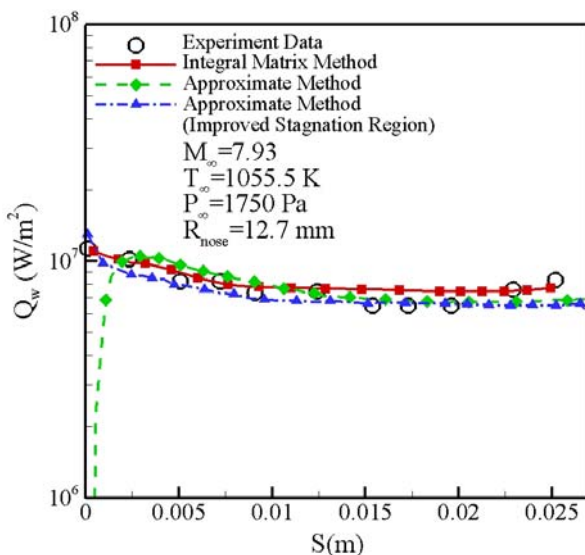


شکل ۵- مقایسه توزیع شار حرارتی روی سطح بدنه کره مخروط با زاویه 5

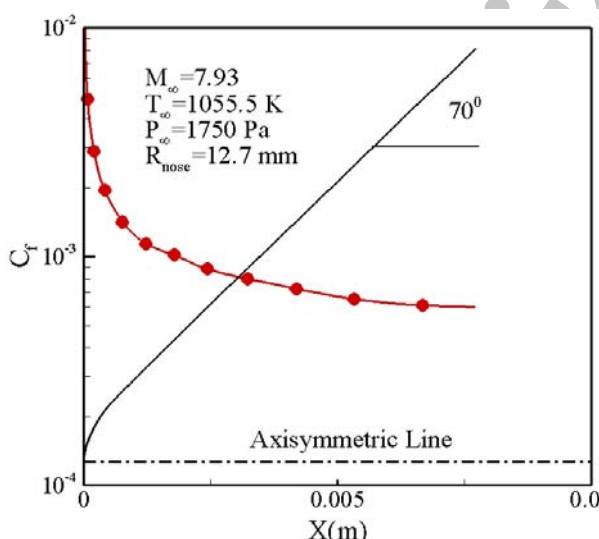
یکی از پارامترهایی که در طراحی اجسام پرنده در سرعت‌های ماوراء صوت بسیار حائز اهمیت است، مقدار و نحوه توزیع ضریب اصطکاک پوسته‌ای روی سطح جسم است. از آنجاکه استفاده از روابط تقریبی ۲۱ و ۲۶ تنها برای محاسبه شار حرارتی روی سطح اجسام بازگشته مورد استفاده قرار می‌گیرد، در شکل (۶) توزیع این پارامتر روی سطح هندسه مخروط سریخ حاصل از حل معادلات لایه‌مرزی آورده شده است. صحت نتایج مربوط به شار حرارتی با توجه به ارتباطی که از طریق آنانالوژی رینولدز بین عدد ناسلت و ضریب اصطکاک پوسته‌ای وجود دارد، به‌نحوی صحت نتایج مربوط به C_f را نیز به اثبات می‌رساند.



شکل ۶- مقایسه ضریب اصطکاک پوسته‌ای روی سطح بدنه کره مخروط با زاویه 5 درجه

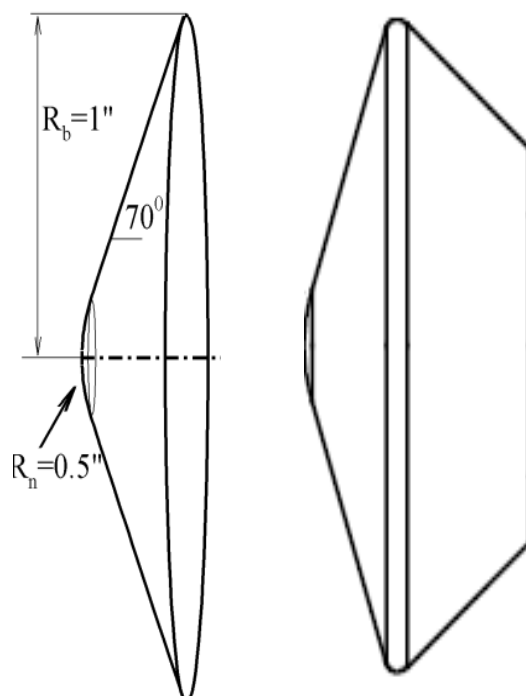


شکل ۹- مقایسه توزیع شار حرارتی روی سطح بدن کپسول در شکل (۱۰) ضریب اصطکاک پوسته‌ای روی سطح جسم حاصل از حل معادلات لایه‌مرزی آورده شده است. همان‌طور که بیان شد نتایج به دست آمده برای ضریب اصطکاک پوسته‌ای روی سطح جسم به دلیل انطباق خوب شارحرارتی به دست آمده روی جسم با داده‌های تجربی و ارتباط بین عدد ناسلت و ضریب اصطکاک پوسته‌ای از طریق آنالوژی رینولدز قابل اعتماد است.



شکل ۱۰- مقایسه توزیع ضریب اصطکاک پوسته‌ای روی سطح بدن کپسول

معادلات لایه‌مرزی و استفاده از الگوریتم ماتریس انتگرالی تنها با ۹ نقطه در شبکه محاسباتی نتایج مناسبی را فراهم می‌کند. شایان ذکر است که حل معادلات لایه‌مرزی شدیداً وابسته به شرایط مرزی روی لبه لایه مرزی است که از حل غیرلزج جریان فراهم می‌شود. از آنجاکه هندسه کپسول در این مسئله دارای ناحیه سکون بزرگی است، فراهم‌کردن نتایج غیرلزج دقیق و هموار در این ناحیه با استفاده از حلگرهای غیرلزج دشوار بوده و هر خطایی در آنها باعث بروز خطا در نتایج حل معادلات لایه‌مرزی می‌شود. همان‌طور که بیان شد رابطه ۲۱ در تخمین شار حرارتی در ناحیه سکون قابل استفاده نیست. این مسئله به‌وضوح در شکل (۹) مشاهده می‌شود. در واقع روابط تقریب مهندسی زویی با فرض نازک بودن لایه شوک با افزایش زاویه هندسی، که در هندسه فوق ضخامت لایه شوک با افزایش زاویه هندسی، بیشترشده و باعث ایجاد خطا در نتایج می‌شود. از این‌رو برای اصلاح نتایج در این ناحیه از رابطه ۲۶ استفاده شده که مخصوص ناحیه سکون توسعه داده شده است و مشاهده می‌شود که با استفاده از این رابطه در نقطه سکون نتایج تطابق مناسبی با داده‌های تجربی پیدا می‌کنند. نکته حائز اهمیت سرعت تحلیلگر حاضر چه به روش حل معادلات لایه‌مرزی و چه به روش تقریبی است که این مسئله در هندسه‌های سه‌بعدی بیشتر مشهود است.



شکل ۸- هندسه کپسول کره-مخروط با زاویه ۷۰ درجه

نتیجه‌گیری

در تحقیق حاضر، گرمایش آبرودینامیکی جریان حول اجسام ماورای صوت متقاضی محوری به دو روش حل عددی معادلات

- Flat Plate,” *International Journal of Mechanical Engineering Education*, Vol. 32, Issue 4, 2004, pp. 316-344.
- [6] Dejarnette, F. R., Hamilton, A. H., Weilmuenster K. J. and Cheatwood F. M., “A Review of Some Approximate Methods Used in Aerodynamic Heating Analysis,” *Journal of Thermo physics*, Vol. 1, No. 1 1978, pp. 5-12.
- [7] Dejarnette, F. R and Hamilton, H. H., “Inviscid Surface Streamlines and Heat Transfer on Shuttle-Type Configurations,” *Journal of Spacecraft*, Vol. 10, No. 5 , 1973, pp.314-321.
- [8] Riley, C. J. and Dearnette, F. R, “Engineering Aerodynamic Heating Method for Hypersonic Flow,” *Journal of Spacecraft and Rockets*, Vol. 29, No. 3, 1992, pp.327-339.
- [9] Shimshi, J. P. and Walberg, G. D., “Aerodynamic Heating to Spherically Blunted Cones at Angle of Attack,” *Journal of Spacecraft and Rockets*, Vol. 32, No 33, 1995, pp. 559-561.
- [10] Carlson, H. A., “Aerothermodynamics Analyses of Hypersonic Blunt Body Flows,” *Journal of Spacecraft and Rocket*, Vol. 36, No. 6, 1999, pp. 912-915.
- [11] Zoby, E. V., Moss, J. N. and Sutton, K., “Approximate Convecting Heating Equations for Hypersonic Flows,” *Journal of Spacecraft*, Vol.18, No.1, 1981, pp. 64-70.
- [12] Anderson, J. D. *Hypersonic and High Temperature Gas Dynamics*, NewYork: McGraw-Hill Book Company, 1989.
- [13] Eckert, E. R. G., “Engineering Relations for Friction and Heat Transfer to Surfaces in High Velocity Flow,” *Journal of the Aeronautical Sciences*, Vol. 22, No .8, 1955, pp. 585-587.
- [14] Fay, J. A. and Riddle, F. R., “Theory of Stagnation Point Heat Transfer in Dissociated Air,” *Journal of the Aerospace Sciences*, Vol. 25, No.2, 1958, pp. 73-85.
- [15] Kamali Moghadam, R. and Salfimi, M. R. “Hypersonic Flow Solution around the Axisymmetric Reentry Vehicles Using Laminar Boundary Layer Equations by Integral Matrix Method,” *the first Aero-Hydro Conference*, Iran, 2012 (In Persian).
- [16] Cleary, J. W., “Effects of Angle of Attack and Bluntness on Laminar Heating- Rate Distributions of Angle 15 Cone at a Mach Number of 10.6,” NASA Technical Note, TN D-5450, October 1969.
- [17] Cheatwood, F. and Dejarnet, F. R., “Approximate Viscous Shock Layer Technique for Calculating Hypersonic Flows about Blunt-Nosed Bodies,” *Journal of Spacecraft and Rockets*, Vol. 31, No. 4, 1994, pp. 621-629.
- [18] Anderson, E. C., Lewis, H., “Laminar or Turbulent Boundary-Layer Flows of Perfect Gases or Reacting Gas Mixtures in Chemical Equilibrium,” NASA CR-1893, 1971.
- [19] Hollis, B. R. and Perkins J. N., “Comparison of Experimental and Computational Aero thermodynamics of a 70-deg Sphere-Cone”, AIAA 96-1867, 1996.

لایه‌مرزی آرام و روش تقریب مهندسی مورد بررسی قرار گرفته است. استفاده از روش ماتریس انتگرالی در حل معادلات لایه‌مرزی سبب می‌شود که با تراکم کم تعداد شبکه در عرض لایه‌مرزی جریان بتوان نتایج مناسبی را فراهم کرد که این مسئله هزینه محاسباتی را بهشت کاهش می‌دهد. بهمنظور اعتباردهی الگوریتم‌های توسعه‌یافته، جریان ماورای صوت حول سه هندسه مخروط سریع با زوایای هندسی متفاوت و در شرایط مختلف مورد تحلیل قرار گرفته است. نتایج نشان می‌دهند که روش‌های به کار رفته دارای دقت مناسب در تحلیل گرمایش آبرودینامیکی اجسام متقاضی محوری بوده و دارای سرعت بالا در راستای طراحی آبرودینامیکی اجسام بازگشته هستند. استفاده از الگوریتم ماتریس انتگرالی در حل معادلات لایه‌مرزی باعث شده که بتوان با تعداد نقاط کمتری در عرض لایه‌مرزی نسبت به سایر روش‌های عددی نتایج را استخراج کرد که این موضوع سرعت حلگر لایه‌مرزی را بهشت افزایش می‌دهد. همچنین انعطاف‌پذیری بالای روش تقریب مهندسی در تخمین گرمایش آبرودینامیکی اجسام بازگشته به دلیل عدم استفاده آنها از حل عددی، این حلگر را برای طراحی مناسب می‌سازد. البته استفاده از رابطه تقریب مهندسی زویی در ناجیه سکون محدودیت پیدا کرده و تخمین شار حرارتی را دچار خطا می‌کند که این موضوع با استفاده از رابطه تقریبی فای-ریدل که برای نقطه سکون توسعه داده شده قابل حل است.

مراجع

- [1] Bartlett, E. P. and Kendall, R. M., “Nonsimilar Solution of the Multicomponent Laminar Boundary Layer by an Integral Matrix Method,” NASA CR-1062, Part I, 1967.
- [2] Anderson, L. W. and Kendall, R. M., “A Nonsimilar Solution for Multicomponent Reacting Laminar and Turbulent Boundary Layer Flows Including Transverse Curvature,” AFWL TR-69-106, 1970.
- [3] Hamilton, H. H., Millman, D. R. and Greendyke, R. B., “Finite-Difference Solution for Laminar or Turbulent Boundary Layer Flow over Axisymmetric Bodies with Ideal Gas, CF4, or Equilibrium Air Chemistry,” NASA CR-3271, 1992.
- [4] Catherall, D. and Mangler, K.W., “The Integration of the Two-Dimensional Laminar Boundary-Layer Equations Past the Point of Vanishing Skin Friction,” *Journal of Fluid Mechanics*, Vol. 26, Issue 01, 1966, pp.163-182.
- [5] Lewins, J. D. “Comparative Solutions to the Integral-Approximate Thermal Boundary Layer Equations for a